

# Моделирование палубной адаптивной гиросtabilизированной приборной платформы

И. Р. Гогорев<sup>1</sup>, П. В. Соколов<sup>2</sup>

Санкт-Петербургский государственный электротехнический университет  
«ЛЭТИ» им. В.И. Ульянова (Ленина)

<sup>1</sup>ilmirgogorev@yandex.ru, <sup>2</sup>pvsokolov@etu.ru

**Аннотация.** Данная работа посвящена моделированию судовой адаптивной гиросtabilизированной приборной платформы. Многие палубные приборы для их корректной работы необходимо стабилизировать в горизонте, поэтому обычно они устанавливаются на стабилизированную платформу. Сложность работы этой системы заключается в необходимости обеспечения высокого качества функционирования в условиях действия внешних возмущений, вызванных качкой корабля, ветровой нагрузкой, вибрацией двигательной установки и неопределенностью параметров системы при установке дополнительного оборудования. Решение этой проблемы требует применения адаптивного подхода. Работа посвящена исследованию применения сигнального алгоритма адаптивного управления с эталонной моделью в задаче стабилизации платформы в горизонте при воздействии качки. Разработана математическая модель приборной гиросtabilизированной платформы взлетно-посадочной системы, состоящая из модели трёхосного стабилизатора, дополненной моделью привода с классическим ПИД-регулятором. Адаптивный регулятор введен параллельно основному регулятору, и обеспечивает способность устройства адаптироваться к изменяющимся условиям в реальном времени. Результаты исследования подтверждают эффективность предложенной модели на основе имитационного моделирования и анализа основных показателей системы.

**Ключевые слова:** адаптивная система управления; посадка; БПЛА

## I. ВВЕДЕНИЕ

Необходимость нахождения в горизонте для корректной работы вынуждает ставить многие палубные приборы на стабилизированный подвес. Так как качка корабля имеет три составляющие: бортовая качка ( $\Theta$ ), килевая качка ( $\Psi$ ), рысканье ( $\varphi$ ), – то для достижения большой точности в позиционировании нужен как минимум трёхосный стабилизатор. При этом для избегания эффекта складывания рамок (gimbal lock) необходимо, чтобы плоскости осей подвеса были все перпендикулярны [1].

Для осей примем стандартные обозначения:  $q$  – внешняя ось (ось горизонтального наведения),  $p$  – средняя ось (ось вертикального наведения),  $h$  – внутренняя ось (ось поперечного наведения). Также будем обозначать угол вращения вокруг определённой оси соответствующей этой оси букве: угол  $q$ , угол  $p$ , угол  $h$ .

Предполагается, что на каждом кольце подвеса стоит волоконно-оптический гироскоп (ВОГ) – очень точный датчик, который измеряет угловую скорость поворота относительно земли, то есть в рассматриваемой задаче он фактически измеряет угловую скорость ошибки

стабилизации. Также предполагается, что за вращение осей отвечают синхронные двигатели на постоянных магнитах.

## II. ВЫВОД МАТЕМАТИЧЕСКОЙ МОДЕЛИ ОБЪЕКТА

### A. Модель объекта

На практике широко распространён метод моделирования многоосного стабилизируемого подвеса, как набора независимых осей [2–3]. Конечная цель работы – это исследование поведения модели и регулятора, максимально приближенных к реальным условиям. Принимается несколько допущений для упрощения задачи в первом приближении:

- Корабль не движется поступательно, рассматривается только стабилизация угловых движений качке.
- Предполагается, что все тела симметричны и сбалансированы и их оси инерции совпадают с осями, связанных с ними системами координат. Также предполагается, что момент инерции каждого тела по его оси вращения много больше моментов инерции по вспомогательным осям и последними можно пренебречь.
- Центры масс каждого звена лежат в начале координат связанных с ними систем.
- Все связанные системы координат имеют начало в одной точке.

Модель синтезирована по методике, аналогичной той, что представлена в работе [4]. В ней уравнения динамики выводятся с помощью уравнений Лагранжа 1го рода. Данный подход удобен тем, что требует лишь нахождения полных кинетической и потенциальной энергий, каждая из которых складывается из кинетических и потенциальных энергий отдельных колец, при этом скорости и энергии одного кольца и внешнего(внутреннего) к нему связаны простыми рекуррентными формулами:

$$T_i = \frac{1}{2} m_i (v_{ci}^T v_{ci}) + m_i \omega_i^T R_{ci} A_{i-1,i} v_{ci} + \frac{1}{2} \omega_i^T J_{ci} \omega_i \quad (1)$$

где  $T_i$  – кинетическая энергия  $i$ -го кольца,  $m_i$  – масса  $i$ -го кольца,  $v_{ci}$  – вектор линейной скорости  $i$ -го кольца,  $\omega_i$  – вектор угловой скорости  $i$ -го кольца,  $J_{ci}$  – момент инерции  $i$ -го кольца,  $R_{ci}$  – матрица координат центра масс  $i$ -го кольца:

$$R_{ci} = \begin{bmatrix} 0 & z_{ci} & -y_{ci} \\ -z_{ci} & 0 & x_{ci} \\ y_{ci} & -x_{ci} & 0 \end{bmatrix} \quad (2)$$

$A_{i-1,i}$  – матрица перехода системы координат, связанной с  $i-1$  кольцом в систему, связанной с  $i$ -ым кольцом. При этом  $i = q, p, h$ . Для самого внешнего кольца в качестве внешней системы нужно брать систему, связанную с кораблём.

Кинетическая и потенциальная энергии определяются для каждого кольца, после чего складываются и уравнения динамики находятся в форме:

$$\frac{d}{dt} \left( \frac{\partial T}{\partial \dot{q}_i} \right) - \frac{\partial T}{\partial q_i} = Q_i - \frac{\partial P}{\partial q_i}, i = q, p, h \quad (3)$$

где  $q_i$  – независимые обобщённые координаты,  $\dot{q}_i$  – производные от  $q_i$ ,  $T = T(q, \dot{q})$  – кинетическая энергия системы,  $P = P(q)$  – потенциальная энергия системы,  $Q_i$  – обобщённые силы и моменты, не выводимые из потенциальной энергии. С учётом принятых допущений сила тяжести не действует на систему, следовательно, слагаемое в правой части с потенциальной энергией можно приравнять нулю.

Уравнения динамики находятся в форме:

$$\ddot{q} = M^{-1}(q)(Q - C(q, \dot{q})\dot{q} - G(q)) \quad (4)$$

где  $M(q)$  – матрица инерции,  $C(q, \dot{q})$  – матрица кориолисовых и центробежных сил,  $G(q)$  – матрица потенциальных сил, которая в нашем случае равна нулевой.

Полный вывод и сами уравнения динамики не приводятся в силу их громоздкости.

### В. Модель возмущений

К возмущениям, действующим на систему, относятся силы трения в осях приводов и небаланс. Качка моделируется просто как гармоническое воздействие с заданной амплитудой и частотой, в качестве модели момента трения берётся упрощённая модель в виде релейной характеристики:

$$M_{mp} = M_{mp,max} \text{sign}(\dot{\theta}) \quad (5)$$

где  $M_{mp,max}$  – максимальный момент трения,  $\dot{\theta}$  – относительная угловая скорость оси.

Небаланс обычно моделируется с помощью введения в уравнения динамики объекта плеча между центром масс кольца и началом координат связанной с этим кольцом системы. Однако с учётом наших допущений, небаланс моделируется как дополнительный внешний возмущающий момент. Для этого используются модели момента небаланса в вертикальной и горизонтальной плоскостях [3]:

$$M_{\epsilon} = M_{mp,max} \frac{l}{g} \ddot{\Theta} \quad (6)$$

$$M_{\epsilon} = M_{mp,max} \left( l + \frac{w}{g} \right) \quad (7)$$

где  $\ddot{\Theta}$  – относительное угловое ускорение качки,  $l$  – смещение центра масс относительно центра подвеса,  $w$  – скорость линейных вибраций.

Тогда  $Q_i$  будет иметь вид:

$$Q_i = u_i + r_i + w_i \quad (8)$$

где  $u_i$  – управляющий момент,  $r_i$  – момент небаланса,  $w_i$  – момент трения.

### С. Модель привода

В объекте используются синхронные приводы с постоянными магнитами.

Для точности моделирования с одной стороны и простоты проектирования модели с другой выбрана модель синхронного привода в системе координат d-q.

На рис. 1 представлена подсистема, моделирующая работу синхронного привода. Параметры, входящие в неё:  $Gf_r$  – проводимость статорной обмотки,  $p_r$  – число пар полюсов статора,  $Ld_r, Lq_r$  – индуктивности статорной обмотки по продольной и поперечной осям,  $Temd_r, Temq_r$  – электромагнитные постоянные времени по продольной и поперечной осям,  $m_r$  – число фаз обмотки статора,  $ce_r, cm_r$  – постоянные противо-ЭДС и момента, Mem – электромагнитный момент.

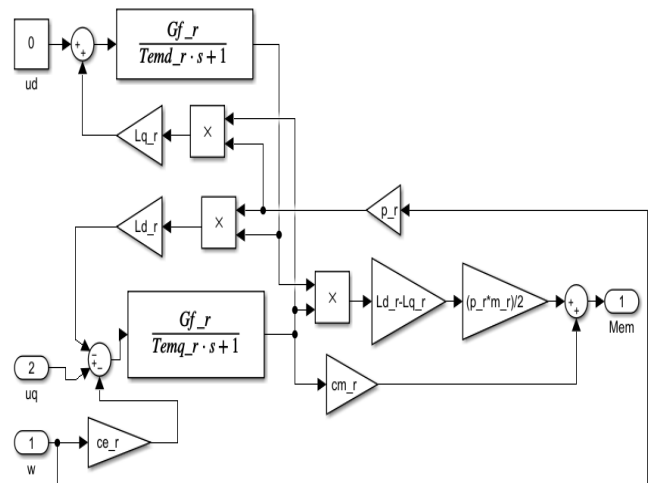


Рис. 1. Модель привода в осях d-q, построенная в среде Simulink

### Д. Постановка задачи

Ставится задача улучшения точности стабилизации в условиях действия возмущений за счет применения адаптивного подхода.

## III. ВЫБОР РЕГУЛЯТОРА И МОДЕЛИРОВАНИЕ

Для исходной разомкнутой системы, рассмотренной ранее, был использован простой регулятор по ошибке – ПИД регулятор.

Для примера была взята система со следующими параметрами:

ТАБЛИЦА I. ПАРАМЕТРЫ МОДЕЛИ

	q	p	h
$Gf_r, См$	0.5263	0.4	0.1724
$p_r$	64	64	77
$Ld_r, Гн$	0.0021	0.0022	0.0064
$Lq_r, Гн$	0.0025	0.0027	0.0077
$Temd_r, сек$	0.0011	0.0008	0.0011
$Temq_r, сек$	0.0013	0.0011	0.0013
$m_r, кг$	3	3	3
$ce_r, В*сек/рад$	0.08	0.07	0.03
$cm_r, Н*м/А$	7.76	4.54	2.59
$J, кг*м^2$	0.6	0.9	0.2
$M_{тр,max}, Н$	0.15	0.15	0.15

Параметры ПИД регулятора были выбраны для всех осей одинаково:  $K_I = 200$ ,  $K_D = 500$ ,  $K_U = 100$ . Параметры качки по всем трём осям: амплитуда  $10^\circ$ , частота 1,26 Гц. Так как важна точность стабилизации, допустимым значением ошибки стабилизации считается одна угловая минута или 60 секунд.

При указанных параметрах ПИД регуляторов, ошибки по  $p$  и  $h$  остаются в допустимых пределах – ошибка по модулю по  $p$  не превосходит  $58''$ , а по  $h$  –  $30''$ . По  $q$  получены весьма плохие показатели (рис. 2) – ошибка в успеваеет менее чем за 4 с достигнуть  $1000''$ , а потом стабилизируется в пределах  $200''$ .

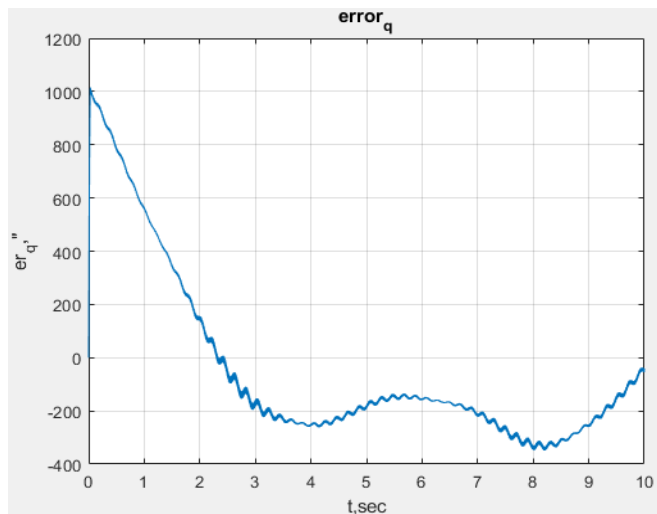


Рис. 2. Ошибка стабилизации по оси  $q$  при использовании классического ПИД-регулятора

Это недопустимые значения. При этом дальнейшее изменение коэффициентов ПИД регулятора не помогает, значения не сильно меняются, либо становятся ещё больше, а после определённых значений система перестаёт быть устойчивой.

Для улучшения точностных показателей системы было решено по оси  $q$  параллельно ПИД регулятору включить адаптивный регулятор с эталонной моделью и с сигнальным законом адаптации [6]. Изменяя скорость ошибки стабилизации, за счет использования интегральной составляющей в ПИД можно получить также саму ошибку. Это позволяет выбрать в качестве эталона фильтр второго порядка, настроенный на ослабление частотного диапазона качки. Фильтр описывается дифференциальным уравнением вида:

$$\mu^2 \ddot{y} + 2d\mu \dot{y} + y = u, \quad (9)$$

где  $u$  – входной сигнал фильтра,  $y$  – выходной сигнал фильтра,  $\mu$  – малый параметр, отражающий инерционность фильтра,  $d$  – параметр демпфирования.

Требуемая динамика обеспечивается выбором параметров:  $d = 0.8$ ,  $\mu = 8$ .

В результате применения параллельного включения классического и адаптивного регуляторов получилось стабилизировать ошибку по  $q$  в районе минуты (рис. 3).

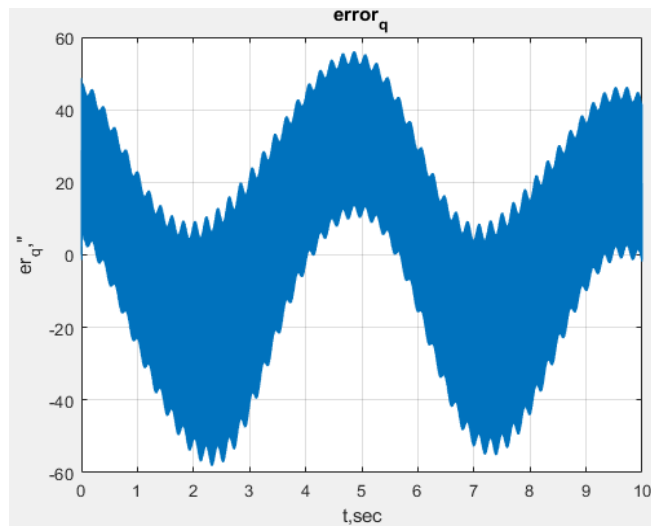


Рис. 3. Ошибка стабилизации по оси  $q$  при совместном использовании классического и адаптивного регуляторов

Можно сделать вывод об эффективности применения адаптивного подхода в задаче стабилизации подвеса в условиях действия возмущений и априорной неопределенности параметров.

#### IV. ЗАКЛЮЧЕНИЕ

В работе был описан порядок формирования модели трёхосного карданного подвеса для стабилизации приборов на палубе при качке, дополненный моделью привода и возмущений. Проведена проверка применимости к данной системе классического ПИД регулятора, а также исследована возможность совместного использования классического и адаптивного регулятора. Результаты работы показали, что выбранный подход действительно способен существенно улучшить динамику замкнутой системы на качке. В дальнейшем планируется усложнить модель объекта, учесть все возмущения, присутствующие в море, шумы датчиков, исследовать возможности адаптивных методов управления при ограничении на амплитуду и частоту сигнала управления.

#### СПИСОК ЛИТЕРАТУРЫ

- [1] Ривкин С.С. Стабилизация измерительных устройств на качающемся основании. М.: Наука, 1978.
- [2] Бесекерский В.А. Динамический синтез систем гироскопической стабилизации / Бесекерский В.А., Фабрикант Е.А. Л.: Судостроение, 1968.
- [3] Фабрикант Е.А., Журавлев Л.Д. Динамика следящего привода гироскопических стабилизаторов. М.: Машиностроение, 1984. 348 с.
- [4] Borodin V.M., Spiridonov I.O., Faizutdinov R.N. Analysis of dynamics of a passive line-of-sight stabilization system with four-axis gimbal suspension // Russian Aeronautics. 2016. Т. 59. №. 4. С. 480-488.
- [5] Гаврилов Р.С. Управление синхронными машинами с постоянными магнитами: учебное пособие / Р.С. Гаврилов, Ю.Н. Мустафакв. Санкт-Петербург: БГТУ "Военмех" им. Д.Ф. Устинова, 2019. 77 с.
- [6] Мирошник И.В., Никифоров В.О., Фрадков А.Л. Нелинейное и адаптивное управление сложными динамическими системами: Учеб. пособие. СПб: Наука, 2000. 549 с.